

تطبيق بعض تقنيات الاستشعار عن بعد لكشف التربسات المعدنية لمنطقة بحر النجف باستخدام

بيانات لاندست- 8 (OLI)

أبتهال تقى حسن

جامعة الكوفة / كلية التربية للبنات / قسم الفيزياء

ibtihal.alkhaqani@uokufa.edu.iq

الخلاصة

استخدمت بيانات لاندست-8 للمتحسس (OLI) للجزء الجنوبي الغربي من محافظة النجف وتمييز اهم المركبات المعدنية للمنطقة باستخدام عدة تقنيات لمعالجة الصور الفضائية. تتضمن طرق معالجة الصور المستخدمة في هذه الدراسة، مركب اللون (Color Composite)، نسبة الحزم الطيفية (Band Ratio) بالإضافة الى تحليل المكونات الاساسية (PCA). استخدمت الحزم المرئية وحزم الاشعة تحت الحمراء القريبة والقصيرة للكشف عن اكاسيد ومعادن الحديد والمعادن الطينية ، في حين استخدمت الحزم الحرارية في تمييز مركبات السيليكات. استخدم مركب اللون (RGB) للحزم (B10,B11,B7) و (B5B7B3) و (B2B5B7) لتحديد مناطق معادن السيليكات و اكاسيد الحديد والمعادن الطينية والحديدية على التوالي. كما استخدمت نسب الحزم 4/2 و 6/5 و 6/7 للكشف عن وجود اكاسيد الحديد والمعادن الحديدية والطينية على التوالي. استخدم تطبيق مركب اللون على نسب الحزم (6/7,6/5,4/2) للحصول على تمييز افضل للتربسات المعدنية في المنطقة . من نتائج (PCA) واستنادا الى قيم و اشاره المتجهات الذاتية لحزم (PC_S) اختيرت صورة PC3 لتمثيل المعادن الطينية و PC4 لتمثيل المعادن الحديدية و PC5 لتمثيل اكاسيد الحديد. اظهر تطبيق مركب اللون على صور (PC5, PC4, PC3) تفاصيل اكثر حول وجود التربسات المعدنية لمنطقة.

<http://dx.doi.org/10.31257/2018/JKP/100114>

كلمات مفتاحية: لاندست- 8, مركب اللون, نسبة الحزم الطيفية, تحليل المركبات الاساسية , المتجهات الذاتية.

Application of Some Remote Sensing Techniques to Detect the Mineral Deposits for Region of Bahar An-Najaf by Using Landsat-8 (OLI) Data

Ebtihal Taki Hassan

University of kufa / College of Education for Girls/ department of physics

ibtihal.alkhaqani@uokufa.edu.iq

Abstract

Landsat-8 was used for the Operational Land Imager (OLI) for the southwestern part of Najaf province to detect and distinguish the most important mineral compounds of the region using several techniques for processing space images. The image processing methods used in this study includes, color composite band ratio in addition to Principal Component Analysis (PCA). Visible, near and short infrared bands have been used to detect iron oxides, iron minerals, and clay minerals, while thermal bands have been used to distinguish silicate

minerals. The color composite (RGB) of the bands (B2B5B7), (B5B7B3) and (B10, B11, B7) have been used to determine region of iron oxide, clay and iron minerals as well as silicate minerals , respectively. The band ratio of 4/2, 6/5 and 6/7 have been used to detect the presence of iron oxides and iron and clay minerals, respectively. The color composition has been applied on the band ratios (6/7,6/5,4/2) to obtain a better distinction for mineral deposits in the region. From results of (PCA) and based on signal and values of eigenvectors for PCs bands, PC3 has been selected to represent clay minerals, PC4 for iron minerals and PC5 for iron oxides. The color composite application on (PC3, PC4, PC5) shows more details about the mineral deposits of the region.

<http://dx.doi.org/10.31257/2018/JKP/100114>

Keywords: Landsat -8, Color Composite, Band Ratios, Principal Component Analysis, eigenvectors.

١- المقدمة

(Illite Montmorillonite ، kaolinite مثل) اكسيد الحديد مثل (Hematite, Limonite) و Olivine (Jarosite) المعادن الحديدية مثل (Pyroxenes). ان تحديد التوزيع المكاني لهذه العناصر مهم لبعض الدراسات البيئية والتخطيط البيئي بالإضافة الى نظم المعلومات الجغرافية Geographic Information Systems [4]. تعد عمليات استكشاف المركبات المعدنية من اجل البحث ورصد الموارد الطبيعية من العمليات المعقّدة والصعبة ، اذ ان الطرق التقليدية القائمة على المسح الميداني تغطي نطاق صغير بسبب ما تتطلبه من جهد وتكلفة عالية . لذا فان تكنولوجيا الاستشعار عن بعد بما توفره من مزايا، مثل تغطية منطقة واسعة واعادة التغطية بفترة زمنية قصيرة، قد استخدمت بشكل فعال في مجال الاستكشافات المعدنية [5]. تهدف هذه الدراسة لتقدير قدرة بيانات لاندست-8 (OLI) على تمييز وكشف اهم المركبات المعدنية لمنطقة الدراسة باستخدام عدة تقنيات لمعالجة الصور الفضائية. استخدمت عدة تقنيات لكشف ورصد انواع المعادن ، مثل تقنية مركب اللون او مزج الحزم الطيفية

ان توفر بيانات الاقمار الصناعية متعددة الاطياف ذات الدقة المكانية المتوسطة مثل (Landsat Satellites) بالإضافة الى تطور طرق معالجة الصور الرقمية، قد اسهمت كثيرا في تسهيل الدراسات الجيوفизيائية والبيئية وبالتالي تزويد البيانات المناسبة في تحظيط مختلف اشكال الاراضي وتحديد التراكيب الصخرية بتفصيل كبير ودقة اكبر[1]. تمتاز الصور الفضائية المتعددة الاطياف بميزة تجميع بيانات الحزم الطيفية المرئية وتحت الحمراء القرمزية والمتوسطة ، مما يتيح التحقق من الخصائص الفيزيائية لسطح الارض بما في ذلك كشف انواع الترب وتمييز انواع التربات المعدنية [2]. تتبادر المعادن بصورة عامة في استجابتها الطيفية للطيف الكهرومغناطيسي، اي يتميز كل معدن عن الآخر بالطريقة التي يتمتع او يعكس الضوء على طول الطيف الكهرومغناطيسي بسبب اختلاف التركيب الكيميائي لكل معدن، مما يتتيح امكانية الكشف ورسم الخرائط المعدنية باستخدام الاستشعار عن بعد[3]. في الاستشعار عن بعد يستخدم مصطلح المركبات المعدنية للتعبير عن مجموعة من المعادن التي تكون من المعادن الطينية

الصخرية ذات المنشأ الرسوبي والتي تتألف من صخور رملية وكلسية وصخور جيرية طباشيرية وجيرية رملية و صخور طينية ، بالإضافة الى التربات التي تحملها الامطار والسيول الى المنطقة التي تتكون من مواد طينية وغرينية ، وغالباً ما تكون اكاسيد الحديد والمعادن الحديدية كمادة لاحمة لاغلب هذه الصخور. تعد منطقة الدراسة مهمة من الناحية الاقتصادية بسبب تكويناتها الجيولوجية والتي يمكن استغلالها كموارد معدنية مهمة وبدرجات نقاوة عالية.

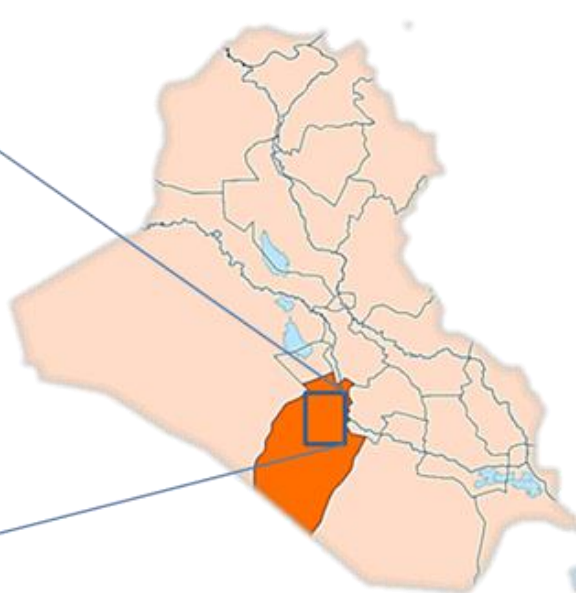
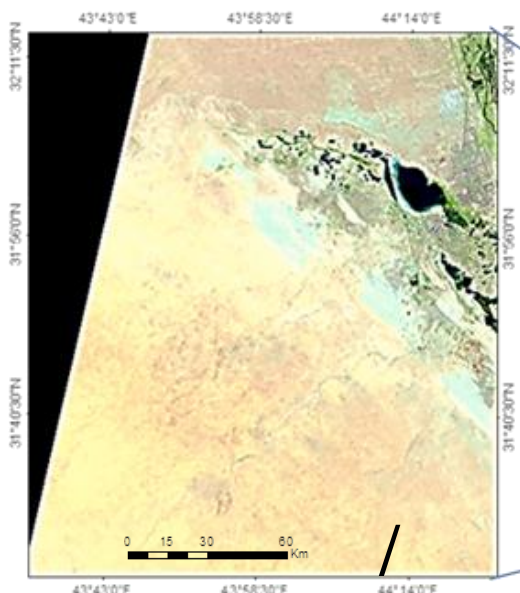
استخدمت في هذا البحث بيانات لاندستات-8، للمتحسس (OLI) المتعددة الاطياف والمتمثلة بالمشهد (الصف 38 المسار 168). والتي جرى تحديدها من موقع المسح الجيولوجي الامريكي (USGS) Geological Survey بتاريخ 2013/7/20 ، في ظل ظروف جوية ممتازة (خلالية من الغيوم) وجودة صورة ممتازة. حيث تتضمن صورة كل مشهد من 11 حزمة طيفية بامتداد (GeoTIFF)، جدول رقم (1) يبين اهم الخصائص لبيانات لاندستات-8 . وهذه البيانات مصححة هندسياً باسقاط UTM . WSG84,(Universal Transverse Macerator) . تم العلاج الرقمية للبيانات باستخدام برنامجي (ArcGIS 10.2) و (ENVI, 5.1)

لتحسين المرئية وتحديد التربات المعدنية المختلفة و تقنية نسبة الحزم والتي تتضمن (مؤشر المعادن الطينية (6/7) ومؤشر أكاسيد الحديد (4/2) ومؤشر المعادن الحديدية (6/5) [6]) بالإضافة الى تقنية تحليل المكونات الرئيسية .

2 - الجانب النظري

2-1- منطقة الدراسة والبيانات المستخدمة

تقع منطقة الدراسة بين خطى عرض $31^{\circ} 26' - 32^{\circ} 0'$ N وخطى طول $43^{\circ} 34' - 44^{\circ} 22'$ E وهي جزء من محافظة النجف ، تبلغ المساحة الكلية للمنطقة المدروسة حوالي (5653.955 km^2), كما مبين في الشكل (1) . تقع محافظة النجف على حافة الهضبة الغربية من العراق جنوب غرب العاصمة بغداد وتبعد عنها بحوالي (161km) . يعد منخفض بحر النجف اهم الظواهر الطبيعية في منطقة الدراسة الذي يبلغ ارتفاع اوطن نقطة فيه حوالي (11m) فوق مستوى سطح البحر، بالإضافة الى ظاهرة الطار الذي هو عبارة عن جرف صخري يطل على المنخفض من جهة الشمالية والشرقية، وتمتاز منطقة الطار باحتوائها على موارد معدنية هامة ضمن تكويناتها الصخرية . من الناحية الجيولوجية تكشف في منطقة الدراسة التكوينات



شكل(1): (اليمين) موقع منطقة الدراسة بالنسبة لمحافظة النجف وللعراق، (اليسار) مشهد لاندست-8 لمنطقة الدراسة بالحزم (653)

جدول (1): خصائص لاندست-8 للمتحسس (OLI)

الحزمة (النطاق)	الطول الموجي (μm)	الدقة المكانية (m)
1- Coastal aerosol	0.43 - 0.45	30
2 – Blue	0.45 - 0.51	30
3 – Green	0.53 - 0.59	30
4 – visible Red	0.64 - 0.67	30
5 – Near Infrared (NIR)	0.85 - 0.88	30
6 – SWIR 1	1.57 - 1.65	30
7 – SWIR 2	2.11 - 2.29	30
8 – Panchromatic	0.50 - 0.68	60
9 – Cirrus	1.36 - 1.38	30
10 – Thermal Infrared (TIRS) 1	10.60 - 11.19	100
11 – Thermal Infrared (TIRS) 2	11.50 - 12.51	100

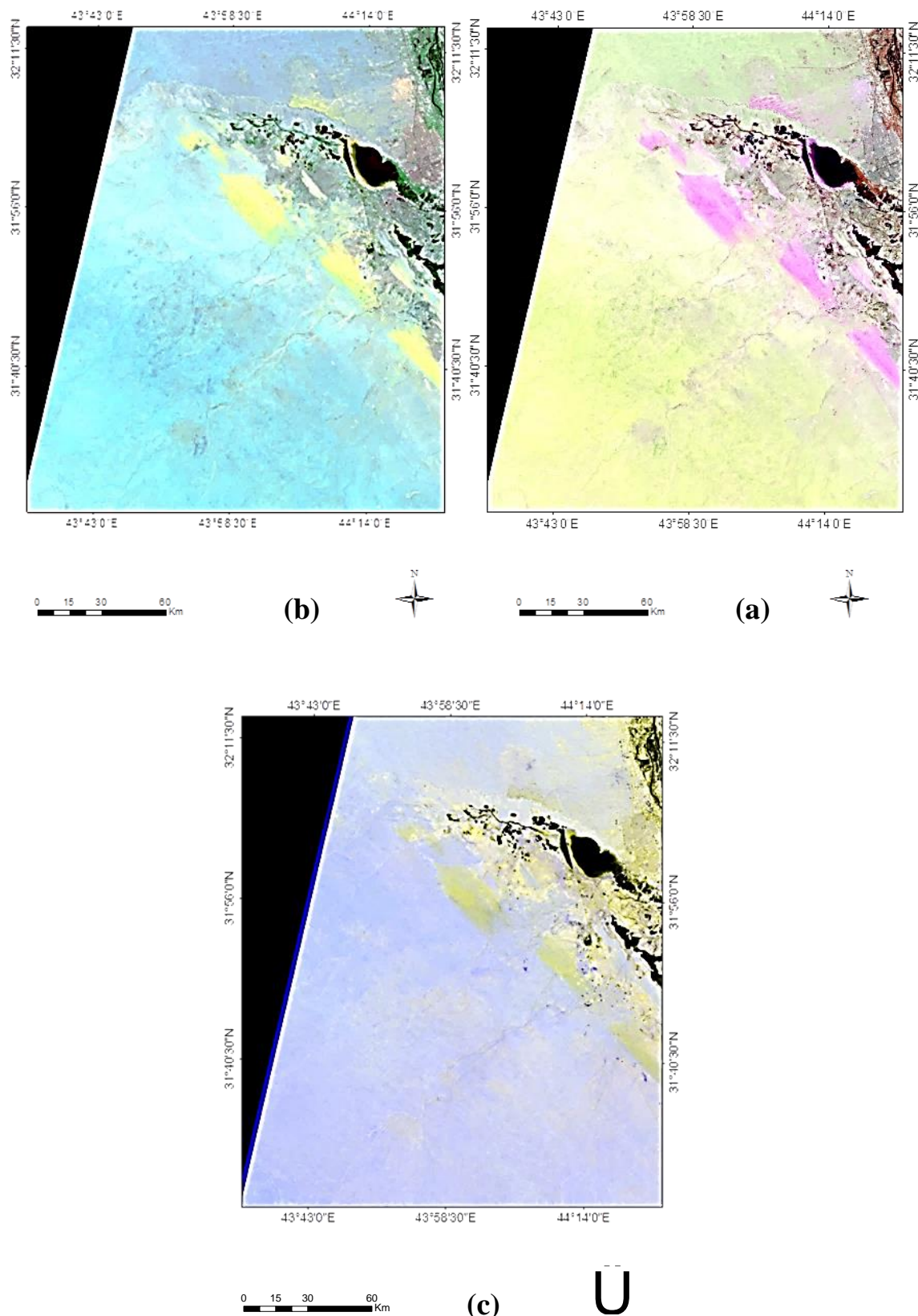
يمكن للعين البشرية ان تراها هي مزيج من انعكاس اجزاء من الاحمر و الاخضر و الازرق من الطيف المرئي . لذا عند إنشاء مركب مؤلف من الحزم المرئية للطيف ، سوف تنتج صورة ملونة متعددة الأطياف تسمى مركب اللون الحقيقي، اي يعرضها كما تبدو في الطبيعة للعين البشرية، اما اذا تم إنشاء مركب من الحزم غير المرئية عند تكون صورة باللون الكاذبة (الزائف). ولتحسين مرئية مركب اللون واظهار المكونات السطحية للمنطقة بشكل افضل يتم اختيار الحزم من مناطق الطيف المرئي وتحت الحمراء وتحت الحمراء القصيرة و تعين الحزم على أساس الخصائص الطيفية للصخور او المعادن [7]. في هذا البحث جرى إنشاء ثلاثة مركبات لون لإظهار تصنيف وتوزيع أنواع المركبات المعدنية في منطقة الدراسة وهي: (B2B5B7), (B5B7B3) , (B10 B11 B7) [1] , في الفتوات (RGB) كما في الشكل (2). (c,b,a).

2-2- التقنيات المستخدمة في معالجة البيانات

ان الغرض من استخدام أساليب معالجة البيانات الرقمية هو لتحويل البيانات المتعددة الأطياف للاقمار الصناعية إلى صور تعزز وتبهر المعلم والتركيب السطحية للمنطقة. اذ جرى في هذه البحث تطبيق عدة تقنيات من اجل تمييز بعض المركبات المعدنية الموجودة في منطقة الدراسة ، مثل مركب اللون ، ونسبة الحزم الطيفية ، وتحليل المكونات الاساسية (PCA). وفيما يلي موجز للتقنيات المستخدمة في البحث:

1-2-2- مركب اللون (Color composite)

تتألف مرئية لاندستات من صور بتدرج لوني رمادي يقابل الحزم الطيفية المختلفة. اذ ان الهدف من إنشاء مركب اللون هو دمج المعلومات المتعددة الأطياف بمنطقة طول الموجة المرئية ، حتى تكون مرئية للعين البشرية. كل جسم في الطبيعة له قيم انعكاس متميزة (فريدة) في الاطوال الموجية المختلفة. ان الالوان التي

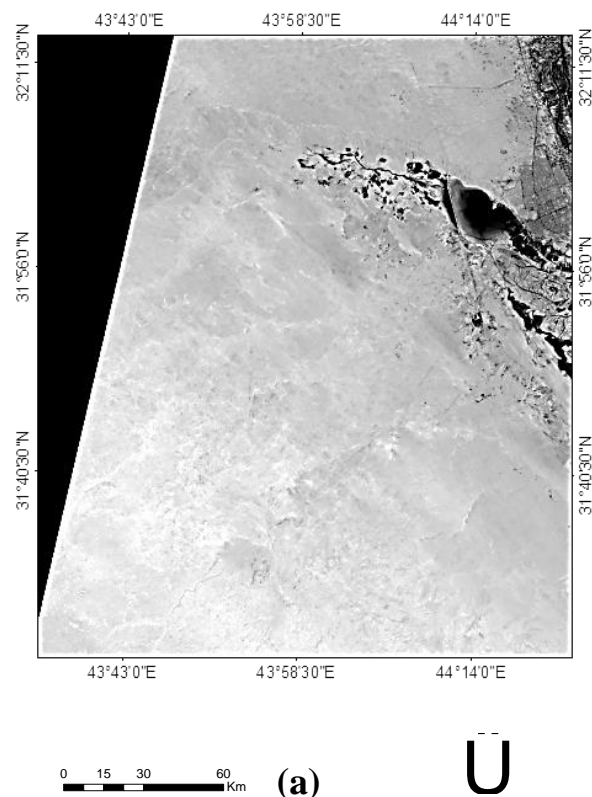
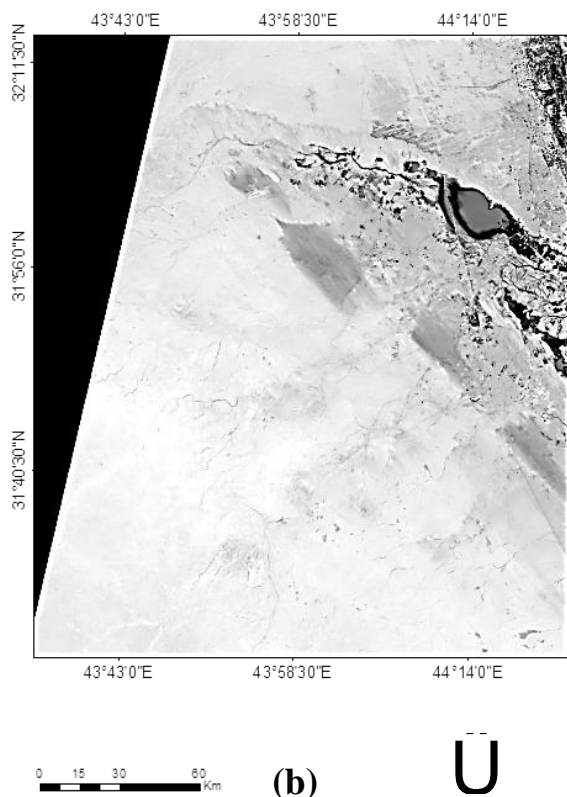


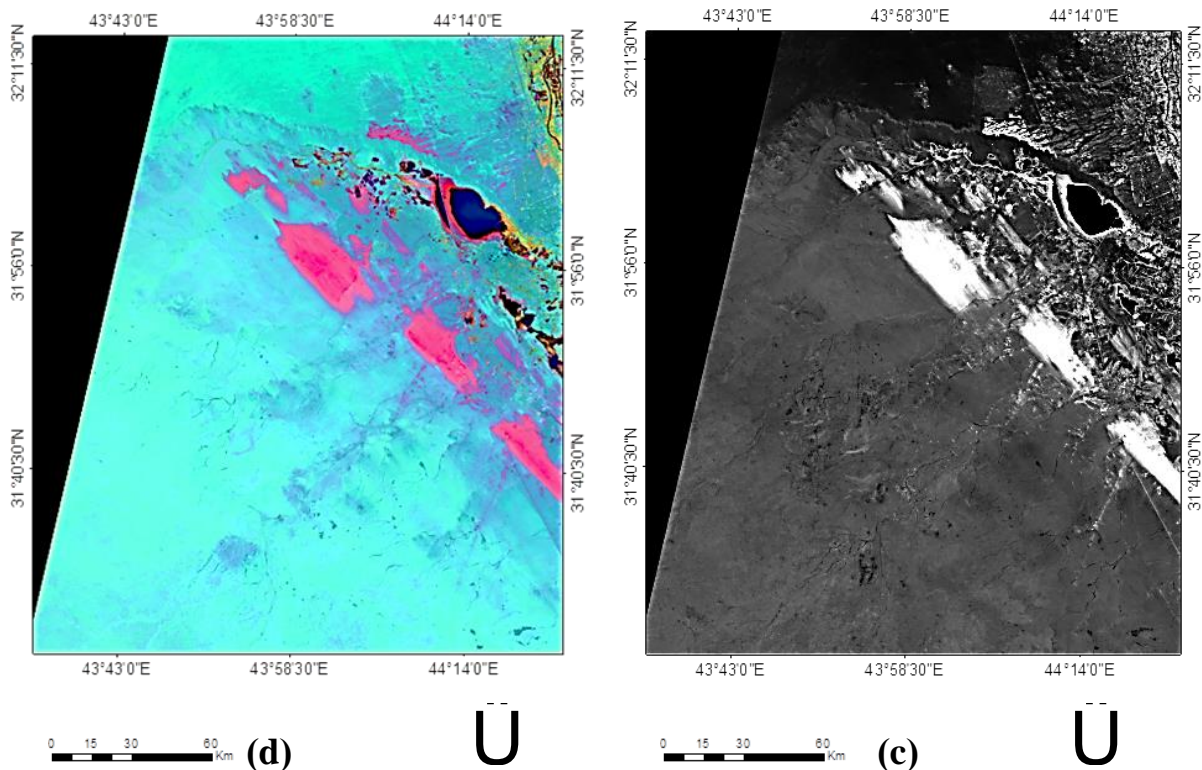
شكل رقم (2): مركب اللون (RGB) للحزم (a) للحزم (B2B5B7) و (b) للحزم (B5B7B3) و (c) للحزم (B10 B11 B7) لمنطقة الدراسة

2-2-2- نسبة الحزم الطيفية (Band Ratio)

والامتصاص لكل معدن. تم في هذا البحث الاستعانة بالتحليل الطيفي من المكتبة الطيفية التي تقدمها (USGS) في برنامج ENVI لانشاء وتحليل نسب الحزم للمعادن المطلوبة. اذ جرى في هذه الدراسة تطبيق النسب 4/2 و 6/5 لكشف اكاسيد الحديد والمعادن الحديدية على التوالى ، في حين استخدمت النسبة 6/7 لتمييز المعادن الطينية ، كما موضح في الشكل (c,b,a.3). ايضا تم انشاء صور مرکبة مكونة من ثلاثة نسب طيفية في القنوات (RGB) وهي النسب (Chica-Olma) او ما تعرف بنسبة (6/7,6/5,4/2) [9] التي استخدمت من قبل عدة باحثين على حزم ETM+ وطبقت في هذا البحث مع مراعاة الاختلافات في حزم LANDSAT-8.

تعد نسبة الحزم الطيفية احدى اساليب معالجة الصور متعددة الأطياف، اذ تستند هذه التقنية على مبدأ ان لكل جسم او معلم ارضي معين انعكاسية طيفية مميزة لكل طول موجي من امواج الطيف الكهرومغناطيسي [3]. لانشاء صورة نسبة الحزم الطيفية ، تقسم قيم الانعكاس الرقمية الأدنى المقابلة لها في حزمة اخرى. هذه التقنية تؤدي الى تحسين التباين بين المعالم السطحية للمنطقة وازالة او تقليل المعلومات عديمة الفائدة عن سطح الارض مثل التظليل الناجم عن تضاريس السطح ، مما يتيح تسلیط الضوء على بعض المعالم التي لا يمكن تمييزها في البيانات الاصلية [8]. في مجال الكشف او التفقيب عن المعادن تستخدم هذه التقنية على نطاق واسع لتمييز المركبات المعدنية اعتمادا على نطاق الانعكاس





شكل (3): نتائج تقنية نسبة الحزم: (a) 4/2 للاكسيد الحديدية، (b) 6/5 للمعادن الحديدية، (c) 6/7 للمعادن الطينية، (d) نسبة (Chica-Olma)

3-2-2 تحليل المكونات الاساسية (PCA) Principal Components Analysis

حيث ان صور ال PC المختارة يمكن ان تظهر المعادن المستهدفة وذلك بايرازها كمناطق لامعة اذا كانت قيم المتجهات الذاتية موجبة او داكنة عندما تكون قيم المتجهات الذاتية سالبة واعتمادا على نسبة الحزم (مؤشر المعادن) المستخدم في تمييز ا نوع التربسات المعدنية [13].

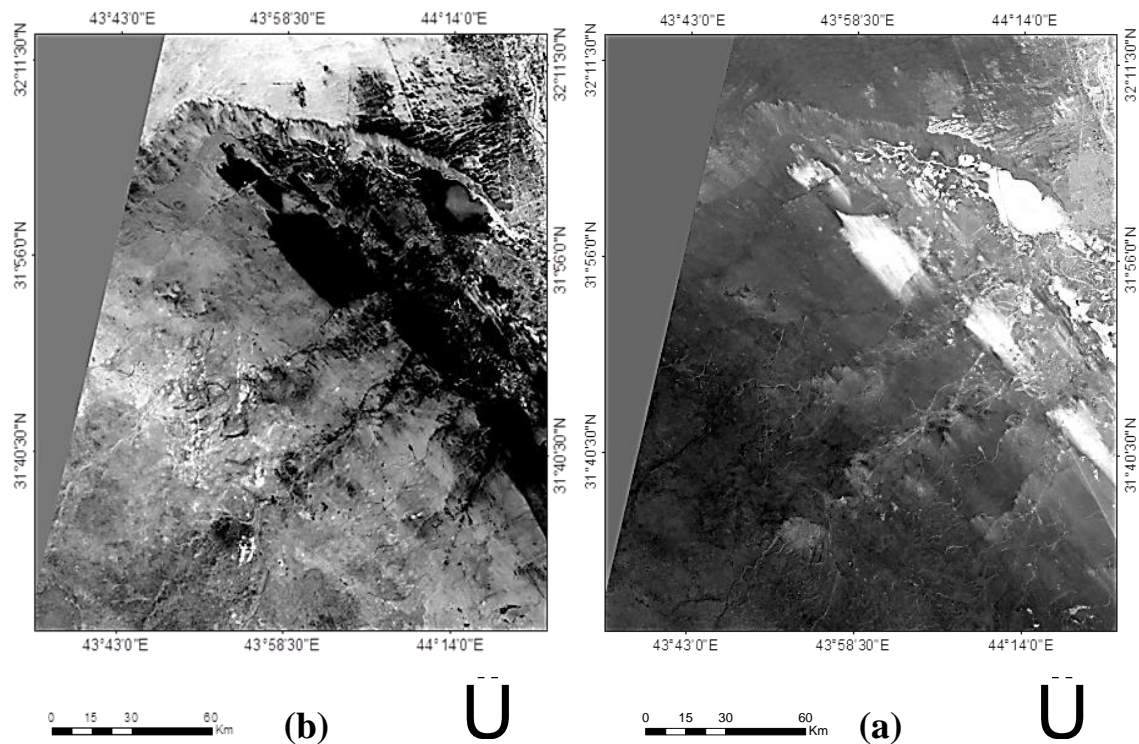
تم تطبيق تحليل المكونات الاساسية على الحزم (7,6,5,4,3,2) للمتحسس (Landsat-8 OLI) وكانت النتيجة الحصول على 6 حزم غير مترابطة من المكونات الاساسية، شكل (5) يبيّن نتائج تطبيق (PCA) والجدول (2) يوضح القيم الذاتية و قيم المتجهات الذاتية لحزم (PC_S). لعرض تمييز اهم المركبات المعدنية لمنطقة الدراسة تم إجراء صورة مركبة ملونة باستخدام (PC5, PC4, PC3) كصورة ملونة RGB كما في الشكل (5.d).

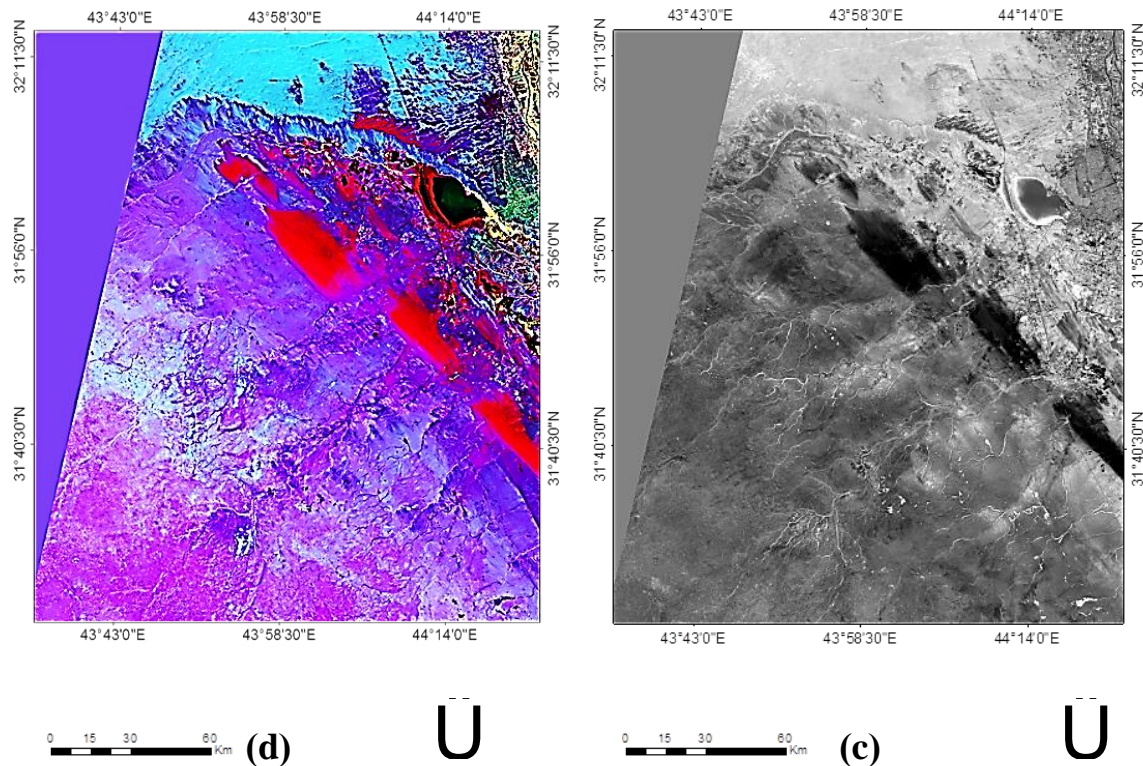
وهي تقنية إحصائية متعددة المتغيرات تستخدم لتقليل تكرار البيانات في المرئية الأصلية وذلك عن طريق تحويل البيانات المتعددة الاطياف الأصلية المترابطة إلى محاور مكون رئيسي جديد تنتج صورة غير مترابطة، وذات تباين أعلى بكثير من النطاقات الأصلية [10]. يكون عدد المكونات الأساسية (PC_S) الناتجة هو عين عدد نطاقات الطيف المدخلة. تحتوي (PC1) على أكبر نسبة من التباين في البيانات، في حين تحتوي (PC2) على ثاني أكبر تباين للبيانات، وهكذا. تظهر (PC) الأخيرة مشوشاً لأنها تحتوي على تباين ضئيل جداً وهذا يعود إلى الضوضاء في البيانات الطيفية الأصلية [11].

ان (PCA) عادة ما يستخدم للكشف عن توزيع المركبات المعدنية المختلفة [12]. وذلك بالاستناد إلى قيم و اشاره (موجبة او سالبة) المتجهات الذاتية لكل حزمة في ال PC التي تساعد في تمييز صورة ال PC المتألية التي تمتلك معلومات طيقية مرتبطة بالمعادن المستهدفة.

جدول رقم (2): قيم المتجهات الذاتية والقيم الذاتية لـ(PCA) لمنطقة الدراسة

	Band 2	Band 3	Band 4	Band 5	Band 6	Band 7	% Eigenvalues
PC1	0.26604	0.30748	0.38631	0.46714	0.51796	0.44603	98.6908
PC2	0.58973	0.45872	0.07858	0.21085	-0.44957	-0.43480	0.9759
PC3	-0.23161	-0.27514	-0.29370	0.80131	0.39340	-0.36549	0.2559
PC4	0.36162	-0.05241	-0.71282	0.10195	-0.19450	0.55691	0.0515
PC5	0.38754	-0.01826	-0.35147	-0.29018	0.68841	-0.40967	0.0236
PC6	0.49683	-0.78502	0.35594	0.02527	-0.09559	0.02109	0.0022





شكل (4): نتائج تطبيق (PCA), (a) صورة PC3 تميز المعادن الطينية ، (b) صورة PC4 تميز المعادن الحديدية ، (c) صورة PC5 تميز اكاسيد الحديد و (d) صورة مركب اللون (PC3 ,PC4,PC5)

3- النتائج والمناقشة

اما بالنسبة للمعادن الحديدية و اكاسيد الحديد فتبعد باللون الازرق المخضر وذلك لكونهما يمتلكان انعكاسية متوسطة عند الحزمتين 7 و 5 كما مبين في الشكل (2). استخدم مركب اللون للحزم (R10,G11,B7) من لاندسات-8 لتمييز معادن السيليكات. كما يلاحظ ان هذا المركب يتضمن الحزمتين الحراريتين (10 و 11) من لاندسات-8 و حزمة (7) من (SWIR)، حيث ان معادن السيليكات تكون ابعايتها عالية في منطقة الطيف بين (μm 11.70 - 10.30) وذلك تبعاً باللون الاصفر النقي في مرئية مركب اللون [6] كما موضح في الشكل (c.2) ، اما المناطق التي تبعاً باللونين الاصفر الداكن والازرق فهي تشير الى القيم المتوسطة والمنخفضة للسيليكات على التوالي.

بالاستناد الى الخصائص الطيفية لمعظم الصخور والمعادن، تم اختيار حزم لاندسات-8 لتطبيق نسبة

اظهر تطبيق تقنية مركب اللون نتائج جيدة في مجال رسم الخرائط الصخرية والمركبات المعدنية لمنطقة الدراسة. اذ تم استخدام مركب اللون للحزم (R:5 G:7 B:3) (شكل a.2) لتعيين المعادن الطينية وال الحديدية و اكاسيد الحديد اعتماداً على الخصائص الطيفية لها. بما ان المعادن الطينية تميز بانعكاس متوسط عند الحزمة 3 و 5 من لاندسات-8، لذا تبدو هذه المناطق بلون بنفسجي (استناداً الى نظرية مزج الالوان حيث ان مزج الاحمر مع الازرق يعطي اللون البنفسجي)، في حين بدت مناطق المعادن الحديدية و اكاسيد الحديد باللون الاصفر المخضر (حيث ان مزج الاحمر مع الاخضر يعطي لون اصفر) وذلك لأن كليهما يمتلكان انعكاس متوسط عند الحزمتين 5 و 7 من لاندسات-8. فيما يخص مركب اللون الآخر الذي استخدم في هذا البحث وهو (R:2 G:5 B:7) فيلاحظ ان المعادن الطينية تبدو بلون اصفر وذلك بسبب انعكاسيتها المتوسطة في الحزمتين 2 و 5 .

في (b6) و 0.36549 (b7) التي تظهر امتصاص في (b7) والتي تزود معلومات هامة عن المعادن الطينية حيث تظهر بلون ابيض براق اعتمادا على النسبة 6/7 (شكل.4.a). اما في PC4 فكان التباين بين b5 (0.19450) و B6 (0.10195) مناسبا لتمثيل المعادن الحديدية بشكل جيد والتي ظهرت بلون داكن لوجود امتصاص في (b6) اعتمادا على النسبة 6/5 (شكل.4.b). في حين ان PC5 اظهرت تباين واضح بين B4 (0.38754) و b2 (0.35147) وبالتالي يمكن الاستعانة بها بشكل جيد في كشف توزيع اكاسيد الحديد اعتمادا على النسبة 4/2 ، والتي تبدو بلون داكن بسبب الامتصاص في (b4) (شكل.c.4). تم انشاء مركب لون باستخدام PC5، PC4 و PC3 (الشكل d.4) والتي أظهرت نتيجة جيدة لتوزيع المركبات المعدنية لمنطقة الدراسة حيث برزت بشكل افضل.

4- الاستنتاجات

بحثت هذه الدراسة امكانية البيانات المتعددة الاطياف من لاندستات-8 في تمييز وكشف الترببات المعدنية المختلفة في منطقة الدراسة. تم تطبيق تقنيات معالجة مختلفة (مركب اللون، نسبة الحزم الطيفية وتحليل المكونات الاساسية) على صور لاندستات-8 والتي اثبتت كفائتها في تحديد مناطق الترببات المعدنية المتنوعة. اظهر تطبيق مركبي اللون للحزم (G:7 B:3) و (R:2 G:5 B:7) نتائج جيدة للتمييز بين المعادن الطينية والهيدرية ، الا انها لم تميز بين اكاسيد الحديد والمعادن الطينية بشكل جيد. اما تطبيق الحزمتين الحراريتين B10 و B11 مع الحزمة B7 في مركب اللون (B11,B10,B7) فميزت بشكل جيد مناطق مركبات السيليكات. اعطى تطبيق مركب اللون على نسبة الحزم نتائج جيدة في كشف المعادن الطينية والهيدرية ، افضل من نتائج تطبيقه على الحزم المنفردة. اعتمادا على قيم و اشارة المتجهات الذاتية للمركبات الاساسية ، اختيرت PC5, PC4, PC3 كافضل صورة لتمثيل المعادن

الحزم. استخدمت النسبة (4/2) لكشف وتمييز اكاسيد الحديد و النسبة (6/5) للمعادن الحديدية و النسبة (6/7) لكشف المعادن الطينية ، حيث تبدو هذه المعادن باللون الابيض البراق كما في الشكل (c.b.a.2). تم تركيب او مزج النسب الثلاثة في القنوات (RGB) لانشاء صورة جديدة تحمل سمات طيفية اوضح من الحزم الاصلية. تم انشاء مركب اللون المكون من النسب (6/7,6/5,4/2) في القنوات (RGB) كما في الشكل (d.3) ، حيث تبدو فيها مناطق المعادن الطينية ذات الانعكاس العالي في النسبة 6/7 بلون احمر ، اما المعادن الحديدية ذات الانعكاس العالي في النسبة 4/2 بلون ازرق فاتح . ان نتيجة تطبيق نسبة (Chica-Olma) كانت مقاربة للنتيجة التي توصل لها الباحث مع الاخذ بنظر الاعتبار الاختلافات في تراكيز المركبات المعدنية لمناطق المدرسة.

تظهر نتائج (PCA) في الجدول (2) القيم الذاتية والمتجهات الذاتية الخاصة بكل حزمة ، اذ تمثل القيم الذاتية ل (PC1) 98.69 % من إجمالي التباين. كما ذكرنا سابقا، فإنه بالاستناد الى قيم و اشارة المتجهات الذاتية يمكن تحديد اي (PC) يحتوي على معلومات طيفية أكثر فائدة من حزم لاندستات-8 التي لديها تباين أعلى بكثير من الحزم الأصلية. حيث ان المتجهات الذاتية لحزم ال (PC_S) التي لها اشارة موجبة تشير الى وجود انعكاس فتظهر المعالم بلون ابيض براق اما التي لها قيم سالبة فتشير الى وجود امتصاص حينها تظهر المعالم داكنة. من الجدول اعلاه نلاحظ ان قيم (PC1) تكون موجبة لجميع الحزم الطيفية اي يوجد انعكاس في كل الحزم وبالتالي يظهر المشهد العام ل (PC1) ابيض براق. في حين نلاحظ ان قيم (PC2) تظهر التباين بين حزم الطيف المرئي وحزم المنطقة تحت الحمراء بنوعيها (NIR و SWIR) و عليه لا يمكن الاستعانة بها لتعيين المركبات المعدنية. اما فيما يخص (PC3) فإنه يعرض التباين بين b6 (0.39340) الذي يظهر انعكاس

sensing", J. Earth Syst. Sci. 118, No. 6 P. 701.

[5] L. H. Trinh, D. Tuyen Vu,(2015) "Application of Remote Sensing Technique to Detect Copper Mineral based Principal Component Analysis and Band Ratio Methods.A Case Study: Laocai Province, Vietnam", V. 7, Is. 3, P. 137 .

[6] A. S.O. Ali , A. B. Pour, (2014), "Lithological mapping and hydrothermal alteration using Landsat 8 data: a case study in ariab mining district, red sea hills, Sudan",International Journal of Basic and Applied Sciences, V.3 (3), P.203.

[7] J.G.Liu and Ph.J.Mason ,(2016),"Image Processing and GIS for Remote Sensing: Techniques and Applications", 2nd Edition, John Wiley and Sons, Britain , P.5.

[8] J. B. Camobull and R. H.,(2011), "Introduction to Remote Sensing"5th Edition, Guilford Press, New York, P.535.

[9] M. Chica-Olmo., F. Abarca, JP. Rigol, (2002)," Development of a Decision Support System based on remote sensing and GIS techniques for gold-rich area identification in SE Spain". International Journal of Remote Sensing, 23(22), P.(4805) .

[10] F. Feizi , E. Mansouri,(2013)," Introducing the Iron Potential Zones Using Remote Sensing Studies in South of Qom

الطينية و المعادن الحديدية و اكاسيد الحديد على التوالى. اعطى مرج المكونات الاساسية (PC3, PC4, PC5) في مرکب اللون صورة واضحة جدا وتفاصيل اكثر للمنطقة. اخيرا ثبتت نتائج البحث قدرة بيانات لاندست- 8 و كفاءتها في كشف التربسات المعدنية على نطاق واسع.

المصادر

[1] M. W. Mwaniki , M. S. Moeller , and G. Schellmann ,(2014), "Application of remote sensing technologies to map the structural geology of central Region of Kenya", IEEE (JSTARS),P.(1).

[2] M. W. Mwaniki , M. S. Moeller , and G. Schellmann (2015), "A comparison of Landsat 8 (OLI) and Landsat 7 (ETM+) in mapping geology and visualizing lineaments: A case study of central region Kenya",The International Archives of the Photogrammetry, Remote Sensing and Spatial Information Sciences, V. XL-7/W3,P.(897).

[3] Sadiya T. B., Ibrahim O.,Asma T. F., Mamfe V., Nsofor C.J., Oyewmi A. S., Shar J.T., Sanusi M., Ozigis M.S.(2014),"Mineral Detection and Mapping Using Band Ratioing and Crosta Technique in Bwari Area Council, Abuja Nigeria", IJSER,V.5,P.1101.

[4] H. M. Dogan, (2009), "Mineral composite assessment of Kelkit River Basin in Turkey by means of remote

Province, Iran", Open Journal of Geology,V.3,P.281.

[11] J.A.Richards,(1986),"Remote Sensing Digital Image Analysis:An Introduction", Springer ,NewYork, P. 127.

[12] A. Ghulam, R. Amer, & T. M. Kusky, (2010), "Mineral Exploration and Alteration Zone Mapping in Eastern Desert of Egypt using Aster Data", ASPRS Annual Conference San Diego, California.

[13] S. Mahmoudishadi , A. Malian and F. Hosseinali,(2017), Comparing Independent Component Analysis With Principle Component Analysis in Detecting Alterations of Porphyry Copper Deposit (Case Study: Ardestan Area, Central Iran), The International Archives of the Photogrammetry, Remote Sensing and Spatial Information Sciences, V.XLII-4/W4, PP(162-164)